

УДК 004.274

А.А. Баркалов¹, д-р техн. наук, проф.,
Л.А. Титаренко¹, д-р техн. наук, проф.,
К.Н. Ефименко², канд. техн. наук, доц.,
И.Я. Зеленева², канд. техн. наук, доц.¹ Зеленогурский университет, г. Зеленая гора, Польша
A.Barkalov@iie.uz.zgora.pl² Донецкий национальный технический университет, г. Донецк, Украина
KN_Efimenko@mail.ru, irina@cs.dgtu.donetsk.ua

Оптимизация КМУУ с разделением кодов

Предлагается метод уменьшения аппаратных затрат в схеме КМУУ с разделением кодов, ориентированный на технологию FPGA. Метод основан на использовании двух источников кодов классов псевдоэквивалентных ОЛЦ и мультиплексора, позволяющего выбрать один из этих источников. Такой подход позволит уменьшить число LUT элементов в схеме адресации КМУУ. Приведен пример применения предложенного метода.

Ключевые слова: композиционное микропрограммное устройство управления, граф-схема алгоритма, операторная линейная цепь, FPGA, логическая схема.

Введение

Одним из путей реализации схемы устройства управления (УУ) по линейной граф-схеме алгоритма (ГСА) является использование модели композиционного микропрограммного устройства управления (КМУУ) с разделением кодов [1,2]. В настоящее время для реализации схем УУ широко используются программируемые логические интегральные схемы (ПЛИС) вида FPGA (Field-Programmable Gate Arrays) [3-6]. Основу FPGA представляют макроячейки LUT (Look-Up Table), имеющие ограниченное число входов (4-6) [7,8]. Для оптимизации схемы УУ на FPGA необходимо уменьшить количество аргументов и термов в реализуемых системах булевых функций [9]. В настоящей работе предлагается метод решения этой задачи для КМУУ с разделением кодов. Метод основан на использовании двух источников кодов классов псевдоэквивалентных операторных линейных цепей (ОЛЦ) и мультиплексора источников кодов (МИК). Предлагаемый метод является развитием идей, предложенных в работе [10].

Целью исследования является оптимизация схемы КМУУ с разделением кодов за счет мультиплексирования источников кодов псевдоэквивалентных ОЛЦ.

Задачей исследования является разработка метода синтеза КМУУ с разделением кодов, позволяющего уменьшить число LUT-элементов в комбинационной части КМУУ.

Базовая информация о КМУУ с разделением кодов

Пусть ГСА $\Gamma = \Gamma(V, E)$ представлена множествами вершин V и соединяющих их дуг E .

Пусть $V = b_0 \cup b_E \cup E_1 \cup E_2$, где b_0 – начальная вершина, b_E – конечная вершина, E_1 – множество операторных вершин и E_2 – множество условных вершин ГСА Γ . В операторных вершинах $b_q \in E_1$ записываются наборы микроопераций $Y(b_q) \subseteq Y$, где $Y = \{y_1, \dots, y_N\}$ – множество микроопераций. В условных вершинах $b_q \in E_2$ записываются элементы множества логических условий $X = \{x_1, \dots, x_L\}$. Введем ряд определений, взятых из [2].

Определение 1. Операторной линейной цепью ГСА Γ называется конечная последовательность операторных вершин $\alpha_g = \langle b_{g_1}, \dots, b_{g_{f_g}} \rangle$ такая, что для любой пары соседних компонент $b_{g_i}, b_{g_{i+1}}$, где i – номер компоненты кортежа α_g , существует дуга $\langle b_{g_i}, b_{g_{i+1}} \rangle \in E$.

Определение 2. Вершина $b_q \in D^g$, где D^g – множество вершин, входящих в ОЛЦ α_g , называется входом ОЛЦ α_g , если существует дуга $\langle b_t, b_q \rangle \in E$, где $b_t \notin D^g$.

Определение 3. Вершина $b_q \in D^g$, называется выходом ОЛЦ α_g , если существует дуга $\langle b_q, b_t \rangle \in E$, где $b_t \notin D^g$.

Определение 4. ОЛЦ α_i, α_j называются псевдоэквивалентными ОЛЦ, если их выходы связаны со входом одной и той же вершины $b_q \in V$.

Пусть для некоторой ГСА Γ сформировано

множество ОЛЦ $C = \{\alpha_1, \dots, \alpha_G\}$, определяющее разбиение на множестве E_1 [3], и пусть $|E_1| = M$. Поставим в соответствие каждой вершине $b_q \in E_1$ микрокоманду MI_q с адресом $A(b_q)$, имеющим разрядность

$$R = \lceil \log_2 M \rceil. \quad (1)$$

Пусть $F_{\max} = \max(F_1, \dots, F_G)$ – максимальное число компонент в ОЛЦ. Закодируем каждую ОЛЦ $\alpha_g \in C$ двоичным кодом $K(\alpha_g)$, имеющим R_1 разрядов, где

$$R_1 = \lceil \log_2 G \rceil. \quad (2)$$

Для определения любой вершины $b_q \in D^s$ достаточно R_2 разрядов, представляющих код $K(b_q)$. При этом

$$R_2 = \lceil \log_2 F_{\max} \rceil. \quad (3)$$

Пусть для ГСА Γ выполняется следующее условие:

$$R_1 + R_2 = R. \quad (4)$$

В этом случае для реализации алгоритма Γ целесообразно использовать модель КМУУ с разделением кодов (рис. 1). В этой модели для кодирования ОЛЦ используются переменные $\tau_i \in \tau$, где $|\tau| = R_1$. Для кодирования компонент ОЛЦ используются переменные $T_i \in T$, где $|T| = R_2$. Коды компонент выбраны так, чтобы выполнялась естественная адресация микрокоманд [1]. Для этого код первой компоненты любой ОЛЦ равен 0, второй – 1 и так далее. Естественно, что эти десятичные числа представлены их двоичными R_2 -разрядными эквивалентами.

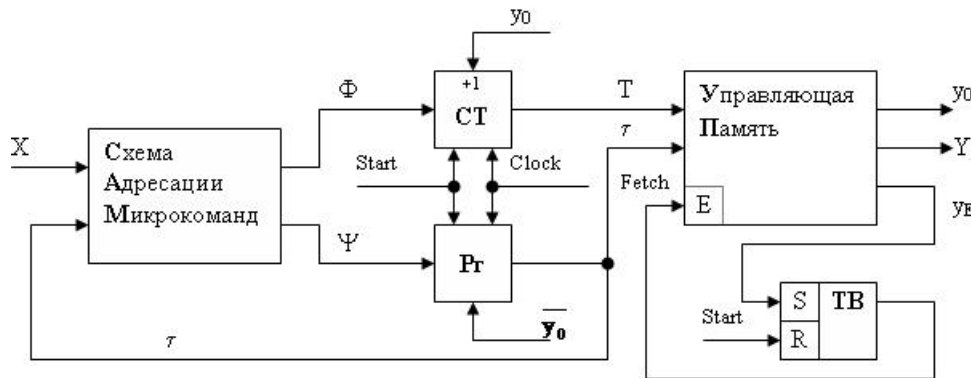


Рисунок 1 – Структурная схема КМУУ с разделением кодов

Условимся в дальнейшем обозначать КМУУ (рис. 1) символом U_1 .

В КМУУ U_1 схема адресации микрокоманд (САМ) реализует систему функций возбуждения счетчика СТ и триггера Рг

$$\begin{aligned} \Phi &= \Phi(\tau, X), \\ \Psi &= \Psi(\tau, X). \end{aligned} \quad (5)$$

При этом адрес микрокоманды MI_q представляется в виде

$$A(b_q) = K(\alpha_g) * K(b_q), \quad (6)$$

где вершина b_q входит в состав ОЛЦ $\alpha_g \in C$, * – знак операции конкатенации.

Композиционное МУУ U_1 функционирует следующим образом. По сигналу Start в Рг и СТ заносится начальный адрес микропрограммы, а триггер выборки ТВ устанавливается в единичное состояние. При этом Fetch = 1, что разрешает выборку команд из управляющей памяти (УП). Если считанная микрокоманда не соответствует выходу ОЛЦ, то одновременно с микрооперациями $Y(b_q)$ формируется сигнал y_0 . Если $y_0 = 1$, то к содержимому СТ прибавляется единица и адресуется следующая компонента

текущей ОЛЦ. Если выход ОЛЦ достигнут, то $y_0 = 0$. При этом адрес входа следующей ОЛЦ формируется схемой САМ. При достижении окончания микропрограммы формируется сигнал y_E , триггер ТВ обнуляется, и выборка микрокоманд прекращается.

Число LUT-элементов в схеме САМ зависит от числа аргументов и термов в системе (5). В настоящей работе предлагается метод, позволяющий уменьшить сложность функций в системе (5) и, следовательно, уменьшить аппаратные затраты в схеме САМ.

Основная идея предлагаемого метода

Пусть ОЛЦ $\alpha_g \in C_1$, если O_g не связан с конечной вершиной ГСА Γ . Найдем разбиение $P_C = \{B_1, \dots, B_l\}$ множества C_1 на классы псевдоэквивалентных ОЛЦ (ПОЛЦ). Выполним кодирование $\alpha_g \in C$ так, чтобы максимально возможное число классов $B_i \in P_C$, где $|P_C| = I$, представлялось одним обобщенным интервалом R_1 -мерного булева пространства. Пусть n_i – число обобщенных интервалов, представляющих класс.

$K(b_q)$ загрузаються відповідно в Рг и СТ. Функціонування продовжується обычним образом до формування змінної УЕ (досягнення закінчення алгоритма управління).

Такий підхід дозволяє зменшити число термов в системі (5) до абсолютного мінімуму. При виконанні умови

$$R_3 < R_1 \tag{16}$$

зменшується число аргументів в системі (10) по порівнянню з відповідними функціями из системи (5). Недостатком даного підходу є наявність блоку МІК, що споживає деякі ресурси кристалла. Однак схема МІК реалізується за рахунок використання тристабільних виходів макроячеек, тому доповільних LUT-елементів не потрібно. Блок УП реалізується на реконфігуруємих блоках ЕМВ, які мають строго визначене число виходів, входять в множество {1, 2, 4, 8, 18, 36}. При цьому існує висока ймовірність наявності невикористаних виходів блоків ЕМВ, входять в склад УП пристрою U_1 .

Особенности реализации схемы КМУУ U_2

В настоящей работе предлагается метод синтеза КМУУ U_2 , включающий следующие этапы:

1. Формирование для ГСА Г множеств C , C_1 , и $П_C$.
2. Оптимальное кодирование ОЛЦ $\alpha_g \in C_1$ и кодирование компонент ОЛЦ.
3. Формирование множеств $П_A$ и $П_B$.
4. Кодирование классов $V_i \in П_B$ кодами $C(V_i)$.
5. Формирование таблицы переходов для классов $V_i \in П_A$.
6. Формирование таблицы переходов для классов $V_i \in П_B$.
7. Формирование содержимого управляющей памяти.
8. Синтез схемы КМУУ в заданном базисе.

Этапы 1-4 выполняются по известным методикам [1-3]. Этап 8 связан с разработкой VHDL-моделей КМУУ и использованием стандартных промышленных пакетов [7,8]. Эти этапы не представляют особого интереса для иллюстрации синтеза схемы КМУУ U_2 . В этой связи мы не рассматриваем данные этапы в нашей статье.

Пусть для некоторой ГСА Γ_1 получено множество ОЛЦ $C = \{\alpha_1, \dots, \alpha_{16}\}$ и разбиение $П_C = \{V_1, \dots, V_7\}$. При этом $\alpha_{16} \notin C_1$, а классы $V_i \in П_C$ определяются следующим образом: $V_1 = \{\alpha_1\}$, $V_2 = \{\alpha_2, \alpha_3, \alpha_4\}$, $V_3 = \{\alpha_5, \alpha_6\}$, $V_4 = \{\alpha_7, \alpha_8, \alpha_9\}$, $V_5 = \{\alpha_{10}, \alpha_{11}\}$, $V_6 = \{\alpha_{12}\}$,

$V_7 = \{\alpha_{13}, \alpha_{14}, \alpha_{15}\}$. Итак, $G = 16$, $R_1 = 4$, $\tau = \{\tau_1, \dots, \tau_4\}$.

Оптимальное кодирование ОЛЦ $\alpha_g \in C_1$ выполняется так, чтобы максимально возможное число классов $V_i \in П_C$ представлялось одним интервалом R_1 -мерного булева пространства [2]. Один из вариантов кодирования представлен на рис. 3.

		$\tau_3\tau_4$			
		00	01	11	10
$\tau_1\tau_2$	00	α_1	α_2	α_3	α_4
	01	α_5	α_6	α_{10}	α_{11}
	11	α_7	α_8	α_9	α_{16}
	10	α_{13}	α_{14}	α_{15}	α_{12}

Рисунок 3 – Коды ОЛЦ $\alpha_g \in C$

Из карты Карно (рис. 3) можно получить следующие интервалы, определяющие классы $V_i \in П_C$. Класс V_1 определяется интервалом 0000; класс V_2 – интервалами 00*1 и 001*; класс V_3 – интервалом 010*; класс V_4 – интервалами 110* и 11*1; класс V_5 – интервалом 011*; класс V_6 – интервалом 1010; класс V_7 – интервалами 100* и 10*1. Таким образом, $П_A = \{V_1, V_3, V_5, V_6\}$, где $K(V_1) = 0000$, $K(V_3) = 010^*$, $K(V_5) = 011^*$ и $K(V_6) = 1010$. Очевидно, $П_B = \{V_2, V_4, V_7\}$ и для их кодирования необходимо $R_3 = 2$ разряда. Итак, $Z = \{z_1, z_2\}$. Закодируем классы $V_i \in П_B$ следующим образом: $C(V_2) = 00$, $C(V_4) = 01$, $C(V_7) = 10$.

Таблица переходов формируется на основе обобщённых формул переходов [4]. Пусть, например, из ГСА Γ_1 можно получить следующие формулы:

$$\begin{aligned} V_1 &\rightarrow x_1 b_3 \vee \overline{x_1 x_2} b_8 \vee \overline{x_1 x_2} b_{12}; \\ V_2 &\rightarrow x_4 b_{12} \vee \overline{x_4} b_{17}. \end{aligned} \tag{17}$$

Столбцы таблицы переходов включают следующую информацию: исходный класс (столбец V_i); код класса (для $П_A$ это код $K(V_i)$, а для $П_B$ – $C(V_i)$); адрес перехода ($A(b_q)$); логические условия определяющие переход (столбец X_h); функции возбуждения триггеров регистра Рг (столбец Ψ_h^1 для $П_B$ и Ψ_h^2 для $П_A$); функции возбуждения триггеров счетчика СТ (столбец Φ_h^2 для $П_A$ и Φ_h^1 для $П_B$); номер перехода (столбец h).

Пусть $A(b_3) = 000100$, $A(b_8) = 001000$, $A(b_{12}) = 010101$, $A(b_{17}) = 110010$. Тогда фрагменты таблиц переходов для формул (17) приведены в

табл. 1 и табл. 2.

Таблица 1. Таблица переходов для класса $B_1 \in \Pi_A$

B_i	$K(B_i)$	$A(b_q)$	X_h	Ψ_h^2	Φ_h^2	h
B_1	0000	000100	x_1	D_4	–	1
		001000	$\overline{x_1 x_2}$	D_3	–	2
		010101	$\overline{x_1 x_2}$	$D_2 D_4$	D_6	3

Таблица 2. Таблица переходов для класса $B_2 \in \Pi_B$

B_i	$C(B_i)$	$A(b_q)$	X_h	Ψ_h^1	Φ_h^1	h
B_2	00	010101	x_4	$D_2 D_4$	D_6	1
		110010	$\overline{x_4}$	$D_1 D_2$	D_5	2

Система (15) может быть получена из таблицы переходов для классов $B_i \in \Pi_B$. Так, из табл. 2 имеем, например

$$D_1 = \overline{z_1 z_2 x_4};$$

$$D_6 = \overline{z_1 z_2 x_4}.$$

Система (14) может быть получена из таблицы переходов для классов $B_i \in \Pi_A$. Так, из табл. 1, имеем, например,

$$D_2 = \overline{\tau_1 \tau_2 \tau_3 \tau_4 x_1 x_2};$$

$$D_6 = \overline{\tau_1 \tau_2 \tau_3 \tau_4 x_1 x_2}.$$

Формирование содержимого УП выполняется тривиальным образом. В ячейки УП, соответствующие выходам ОЛЦ $\alpha_g \in B_i$, где $B_i \in \Pi_B$, записывается код $K(B_i)$. Этот этап мы также не рассматриваем.

Заключение

Предлагаемый в работе метод оптимизации КМУУ основан на мультиплексировании двух

источников кодов классов псевдоэквивалентных ОЛЦ. Такой подход позволяет гарантированно уменьшить число термов в системе функций возбуждения триггеров регистра и счетчика адресов микрокоманд до максимально возможной величины. Если КМУУ с разделением кодов рассматривать как автомат Мура, то предлагаемый подход позволяет уменьшить число термов до величины этого параметра у эквивалентного автомата Мили. Применение предложенного метода имеет смысл только при наличии свободных ресурсов встроенных блоков памяти, входящих в состав микросхемы FPGA.

Недостатком предложенного подхода является введение мультиплексора, который вносит дополнительную задержку в цикл работы КМУУ. Однако уменьшение числа термов ведёт к уменьшению числа уровней в схеме и задержка от введения МИК компенсируется. Проведенные авторами исследования показали, что предложенный метод позволяет до 36% уменьшить число LUT-элементов по отношению к исходному КМУУ. При этом время цикла КМУУ U_2 всегда было меньше, чем у КМУУ U_1 .

Научная новизна предложенного метода заключается в использовании особенностей КМУУ (наличие классов псевдоэквивалентных ОЛЦ) и кристалла FPGA (фиксированное число выходов блоков EMB) для уменьшения числа LUT-элементов в схеме КМУУ с разделением кодов.

Практическая значимость метода заключается в уменьшении площади кристалла FPGA, занимаемой схемой КМУУ, что позволяет получить схемы, обладающие меньшей стоимостью, чем известные из литературы аналоги.

Список использованной литературы

1. Проектирование реконфигурируемых цифровых систем / А.В. Палагин, А.А. Баркалов, Л.А. Титаренко и др. – Луганск: Издательство ВНУ, 2011. – 432 с.
2. Barkalov A. Logic synthesis for compositional microprogram control units / A. Barkalov, L. Titarenko. – Berlin: Springer, 2009. – 272 p.
3. Баркалов А.А. Синтез микропрограммных автоматов на заказных и программируемых СБИС / А.А. Баркалов, Л.А. Титаренко. – Донецк: УНИТЕХ, 2009. – 336 с.
4. Barkalov A. Logic synthesis for FSM-based control units / A. Barkalov, L. Titarenko. – Berlin: Springer, 2009. – 233 p.
5. Maxfield S. The Design Warrior's Guide to FPGAs / S. Maxfield. – Amsterdam: Elsevier, 2004. – 541 p.
6. Грушвицкий Р.И. Проектирование систем на микросхемах с программируемой структурой / Р.И. Грушвицкий, А.Х. Мурсаев, Е.П. Угрюмов. – СПб.: БХВ – Петербург, 2006. – 736 с.
7. [Электронный ресурс]. – Режим доступа: xilinx.com.
8. [Электронный ресурс]. – Режим доступа: altera.com.
9. Baranov S. Logic and System Design of Digital Systems / S. Baranov. – Tallinn: TTU, 2008. – 266 p.

10. Оптимизация схемы КМУУ с преобразователем адреса микрокоманд / А.А. Баркалов, Л.А. Титаренко, К.Н. Ефименко и др. // Научные труды ДОНТУ. Серия «Проблемы моделирования та автоматизации проектирования» (МАП-2011). – 2011. – Вып. 9 (179). – С. 26-35.

Надійшла до редколегії 30.03.2012

**О.О. БАРКАЛОВ¹, Л.О. ТИТАРЕНКО¹,
К.М. ЄФІМЕНКО², І.Я. ЗЕЛЕНЬОВА²**

¹Зеленогурський університет, м. Зелена гора,
Польща

²Донецький національний технічний університет

**A.A. BARKALOV¹, L.A. TITARENKO¹,
K.N. EFIMENKO², I.J. ZELENYOVA²**

¹University of Zielona Gora, Poland,

²Donetsk National Technical University, Ukraine

ОПТИМІЗАЦІЯ КМПК ІЗ РОЗПОДІЛОМ КОДІВ

В роботі запропоновано метод зменшення апаратних витрат у схемі КМПК із розподілом кодів, який орієнтовано на технологію FPGA. Метод засновано на використанні двох джерел кодів класів псевдоеквівалентних ОЛЛ та мультіплектору, який дозволяє вибрати одне з цих джерел. Такий підхід дозволить зменшити число LUT елементів у схемі адресації КМПК. Наведено приклад використання запропонованого методу.

Ключові слова: композиційний мікропрограмний пристрій керування, граф-схема алгоритму, операторний лінійний ланцюг, FPGA, логічна схема.

OPTIMIZATION OF CMCU WITH CODE SHARING

A method for reducing the hardware amount in the circuit of CMCU with code sharing is proposed oriented on FPGA technology. The method is based on the use of two sources of codes classes of pseudoequivalent OLC and a multiplexer to choose one of these sources. Such an approach would reduce the number of LUT elements in the addressing circuit of CMCU. An example of the proposed method application is given.

Keywords: compositional microprogram control unit, GSA, operational linear object, FPGA, logic circuit.